

Figura 6. Indagine ESAC: mappa della distribuzione dei geofoni (a sinistra); spettro di velocità risultante del dataset acquisito (a destra).

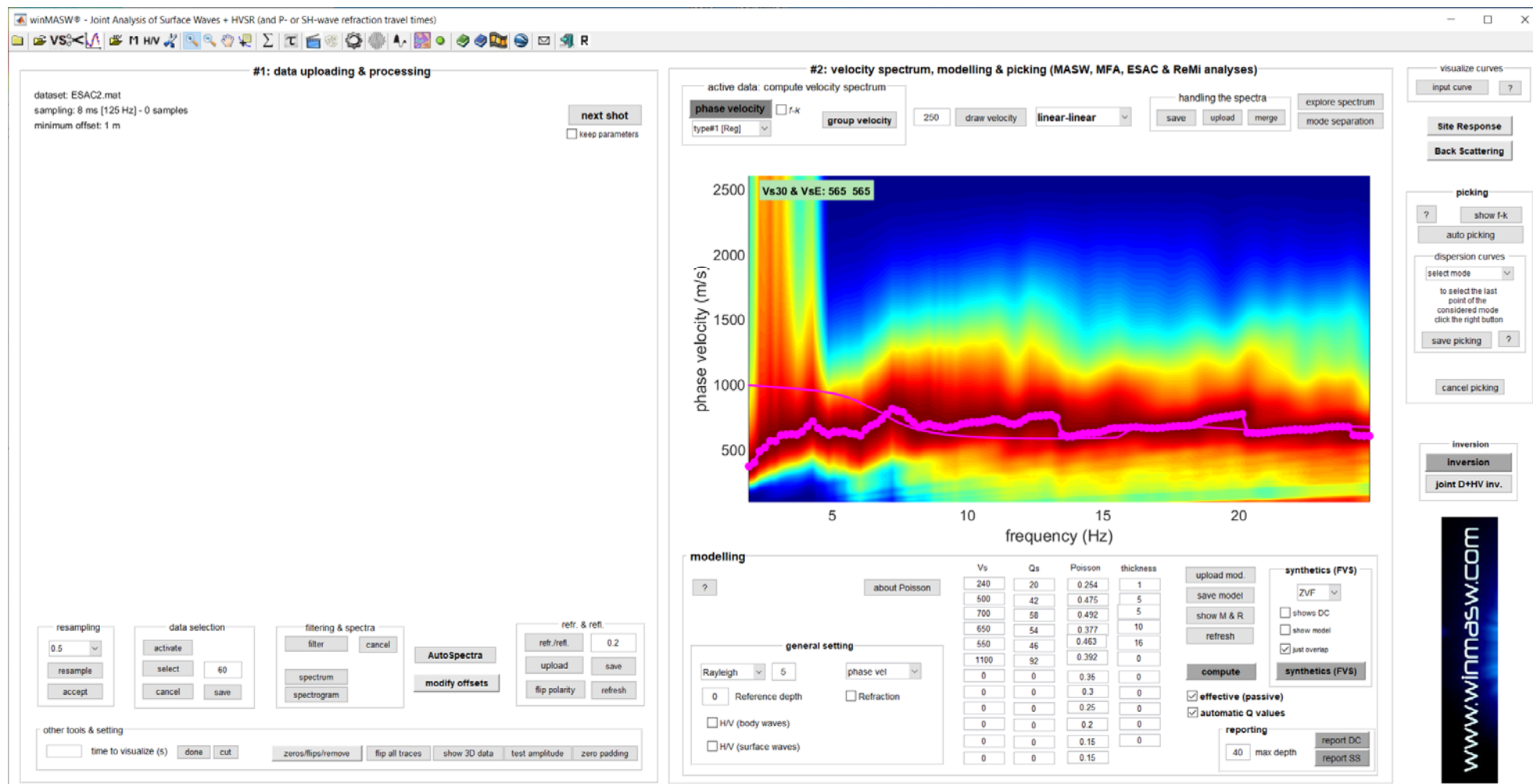


Figura 7. Indagine ESAC: spettro di velocità del dataset acquisito con sovrapposta curva di dispersione teorica del modello di sottosuolo proposto.

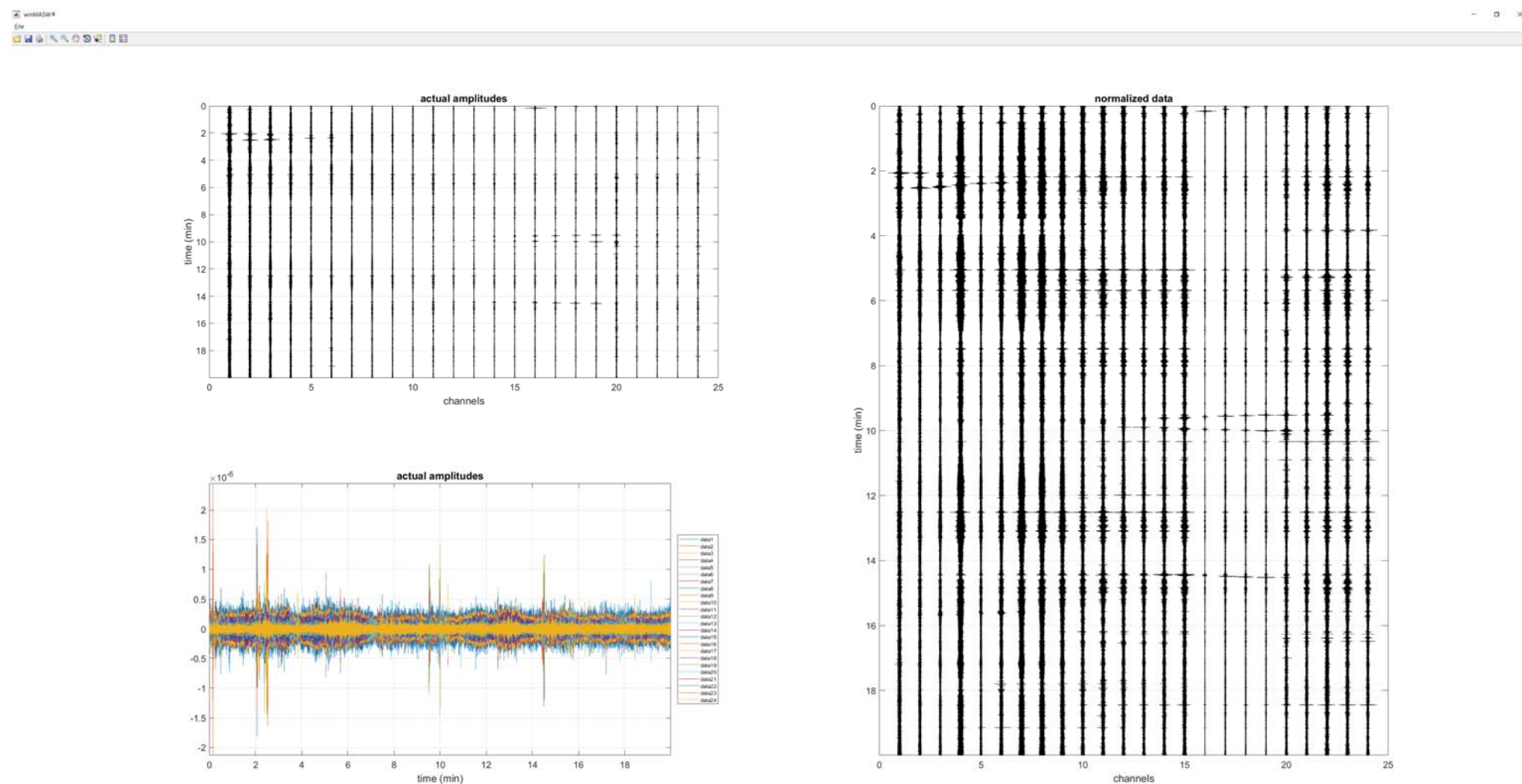


Figura 8. ESAC: dataset acquisito: ampiezze misurate e normalizzate.